

Klassische Elektrodynamik

0. Einleitung
- I. Elektrostatik
- II. Magnetostatik
- III. Maxwellgleichungen, elektromagnetische Wellen, Strahlung
- IV. Elektrodynamik in Materie
- V. Spezielle Relativitätstheorie, kovariante Formulierung der Elektrodynamik

Literatur:

1. T. Fließbach. Elektrodynamik
2. J.D. Jackson. Klassische Elektrodynamik
3. L.D. Landau, E.M. Lifschitz, Band 2:
Klassische Feldtheorie

0. Einleitung

Punktmechanik: Bahnkurven $\vec{r}(t)$ von Teilchen und ihre Bewegungsgleichungen stehen im Mittelpunkt

Dagegen ist die Elektrodynamik eine Feldtheorie.

Im Mittelpunkt hier stehen elektromagnetische Felder $\vec{E}(\vec{r}, t)$ und $\vec{B}(\vec{r}, t)$, die durch die Kraft \vec{F} definiert, die sie auf eine Ladung ausüben

$$\vec{F} = q(\vec{E}(\vec{r}, t) + \vec{v} \times \vec{B}(\vec{r}, t)) \quad (\text{SI Maßsystem})$$

- Siehe Diskussion unten

Bewegungsgleichungen für \vec{E} und \vec{B} sind Feldgleichungen - partielle Differenzialgleichungen

-2-

die raumzeitliches Verhalten von $\vec{E}(\vec{r}, t)$ und $\vec{B}(\vec{r}, t)$ bestimmen — Maxwellgleichungen:

$$\vec{\nabla} \cdot \vec{E} = \frac{1}{\epsilon_0} \rho$$

$$\vec{\nabla} \times \vec{B} - \frac{1}{c^2} \frac{\partial \vec{E}}{\partial t} = \mu_0 \vec{j}$$

$$\vec{\nabla} \times \vec{E} + \frac{\partial \vec{B}}{\partial t} = 0$$

$$\vec{\nabla} \cdot \vec{B} = 0$$

für äußere Quellen

$\rho(r, t)$ — Ladungsdichte

$\vec{j}(r, t)$ — Stromdichte

im Vakuum

(SI Einheitensystem)

Notationen:

$$\vec{\nabla} - \text{"Nabla-Operator"} = \begin{pmatrix} \frac{\partial}{\partial x} \\ \frac{\partial}{\partial y} \\ \frac{\partial}{\partial z} \end{pmatrix} \quad (\text{in 3D})$$

- $\Phi(\vec{r})$ — Skalarfunktion $\rightarrow \vec{\nabla} \Phi(\vec{r}) = \text{grad } \Phi(\vec{r})$
ih Komponenten: $\vec{\nabla} \Phi = \begin{pmatrix} \partial \Phi / \partial x \\ \partial \Phi / \partial y \\ \partial \Phi / \partial z \end{pmatrix}$ Gradient (Vektor)
- $\vec{V}(\vec{r})$ — Vektor $\rightarrow \vec{\nabla} \cdot \vec{V}(\vec{r}) \equiv \text{div } \vec{V}(\vec{r})$
 $\vec{\nabla} \cdot \vec{V} = \partial V_x / \partial x + \partial V_y / \partial y + \partial V_z / \partial z$ Divergenz (Skalar)
- $\vec{\nabla} \times \vec{V} \equiv \text{rot } \vec{V}$ Rotation (Vektor)
 $= (\vec{\nabla} \times \vec{V})_z = \partial V_y / \partial x - \partial V_x / \partial y$; andere Komponenten:
zykl. Permutationen
- $\vec{\nabla}^2 \Phi \equiv \Delta \Phi = \left(\frac{\partial^2}{\partial x^2} + \frac{\partial^2}{\partial y^2} + \frac{\partial^2}{\partial z^2} \right) \Phi$
Laplace-Operator

Statische Phänomene: $\frac{\partial \vec{E}}{\partial t} = \frac{\partial \vec{B}}{\partial t} = 0$

\rightarrow Maxwell-Gl zerfallen in zwei unabhängigen Gleichungspaaren: Elektrostatisches und Magnetostatisches.

I. Elektrostatik

Statische (nicht bewegende) Ladungen und elekt. Felder)

① Coulomb-Gesetz:

$$\vec{F} = k q_1 q_2 \frac{\vec{r}_1 - \vec{r}_2}{|\vec{r}_1 - \vec{r}_2|^3}$$

Kraft auf Ladung q_1
im Punkt \vec{r}_1
erzeugt von Ladung q_2
im Punkt \vec{r}_2

Elektrisches Feld: $\vec{F} = q \vec{E}$

$$\vec{E}(\vec{r}) = k q_i \frac{\vec{r} - \vec{r}_i}{|\vec{r} - \vec{r}_i|^3}$$

elektrisches Feld im
Punkt \vec{r} erzeugt von
Ladung q_i am Punkt \vec{r}_i

Bemerkung:

$1/r^2$ - Abhängigkeit der Coulombkraft

\leftrightarrow Null Masse des Photons, $m_\gamma = 0$

experimentell überprüft im Bereich
von atomaren Skalen bis zu 10^8 m

② Einheitensysteme:

Um die Konstante k im Coulomb-Gesetz festzulegen,
muss man die Ladung q als Messgröße definieren,
also die Ladungseinheit wählen.

Es gibt verschiedene Definitionen \rightarrow verschiedene
Einheitensysteme \rightarrow verschiedene Werte von k
in Coulomb-Gesetze

(im allgemeinen: verschiedene Koeffiz. in Maxwell-Gleichungen)

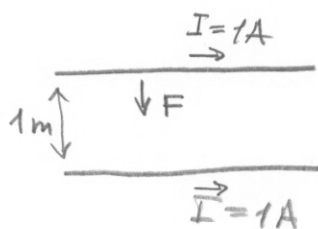
-4-

Zwei meistbenutzten Einheitensystemen:

SI und Gauß-System:

- SI (m, kg, s)

Stromstärke $1 \text{ A} = 1 \text{ Ampere}$ =
ist definiert so dass die Kraft
pro Länge zwischen zwei parallelen
Drähten im Abstand 1 m mit dem Strom 1 A
gleich $2 \cdot 10^{-7} \frac{\text{N}}{\text{m}}$ ist.



Damit ist auch die Ladeneinheit definiert

$$1 \text{ Ampere} = 1 \frac{\text{Coulomb}}{\text{Sekunde}} \quad 1 \text{ A} = 1 \frac{\text{C}}{\text{s}}$$

Der entsprechende Wert von k in Coulomb-Gesetz

$$k \stackrel{\text{def}}{=} 10^{-7} \frac{\text{N} \cdot \text{c}^2}{\text{A}^2} \quad (\text{SI}) \quad c - \text{Lichtgeschwindigkeit} \approx 3 \cdot 10^8 \text{ m/s}$$
$$\approx 9 \cdot 10^9 \frac{\text{Nm}^2}{\text{C}^2}$$

$$k = \frac{1}{4\pi \epsilon_0} \quad \epsilon_0 - \text{"Dielektrizitätskonstante des Vakuums"}$$

$$\epsilon_0 \approx 8.854 \cdot 10^{-12} \frac{\text{C}^2}{\text{Nm}^2}$$

Ladungsquant in SI-Einheiten (Coulomb):

$$e \approx 1.602 \cdot 10^{-19} \text{ C}$$

Andere Name für SI : MKSA (m, kg, s, A)

- 5 -

- Gauß - System (CGS) (cm, g, s)
 $k \stackrel{\text{def}}{=} 1$

Damit ist die Einheit der Ladung festgelegt

1 ESE = Elektrostatische Einheit der Ladung

mehrere andere Namen:

1 Fr (Franklin)

1 statC = 1 stat Coulomb

1 esu (electrostatic unit)

CGS Kraft - Einheit 1 dyn = $\frac{g \cdot cm}{s^2}$

$$1 \text{ dyn} = \frac{(1 \text{ ESE})^2}{\text{cm}^2}$$

$$\rightarrow \text{ESE} = \frac{\text{cm}^{3/2} g^{1/2}}{s}$$

Im Gegensatz zu SI, ist im Gauß - System
die Ladeneinheit nicht von cm, g, s unabhängig!

Elementarladung

$$e \approx 4.803 \cdot 10^{-10} \text{ ESE}$$

Umrechnung SI \leftrightarrow Gauß:

$$1 \text{ ESE} \leftrightarrow 3.34 \cdot 10^{-10} \text{ C}$$

$$1 \text{ C} \leftrightarrow 3.00 \cdot 10^9 \text{ ESE}$$

Bemerkungen:

1. SI und Gauß-System Einheiten der Ladung haben verschiedene Dimensionen; Gleichungen haben verschiedene Form in beiden Systemen → SI und Gauß sollen nie gleichzeitig (in einer Gleichung) benutzt werden
2. es gibt noch weitere auf CGS basierende Systeme (elektrostatische, elektromagnetische, Heaviside-Lorentz)
Die werden aber seltener benutzt

SI oder Gauß-System?

- SI
 - gesetzlich festgelegt
 - experimentelle Größen werden üblicherweise in diesem System angegeben
 - alle technischen Anwendungen beziehen sich auf das SI
 - einführende Physikbücher benutzen üblicherweise das SI
- Gauß-System
 - eignet sich besonders gut zur Darstellung der relativistischen Strukturen der Elektrodynamik
 - E und B haben gleiche Einheiten, in el/mag Wellen $|E| = |B|$
→ macht die Tatsache explizit, dass die magnetische Kraft um den Faktor v/c schwächer ist und ist damit ein relativistisches Phänomen
 - in fast allen Theorie-Büchern und Artikeln benutzt

① - Fortsetzung (Coulomb-Gesetze) - 7 -

Viele Ladungen

$$\vec{E}(\vec{r}) = \frac{1}{4\pi\epsilon_0} \sum_{i=1}^n q_i \frac{\vec{r}-\vec{r}_i}{|\vec{r}-\vec{r}_i|^3}$$

$$= \frac{1}{4\pi\epsilon_0} \int d^3r' p(\vec{r}') \frac{\vec{r}-\vec{r}'}{|\vec{r}-\vec{r}'|^3} \quad (*)$$

$$d^3r' = dx'dy'dz'$$

$$p(\vec{r}) = \sum_{i=1}^n q_i \delta(\vec{r}-\vec{r}_i)$$

Delta-Funktion

Dirac'sche Delta-Funktion

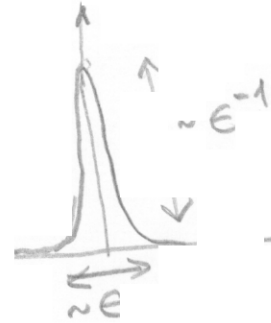
$\delta(x)$ - verallgemeinerte Funktion ("Distribution")

$$\delta(x-x_0) = 0 \quad \text{für } x \neq x_0$$

$$\int_a^b dx \delta(x-x_0) = \begin{cases} 1 & , a < x_0 < b \\ 0 & \text{für } x_0 \notin [a, b] \end{cases}$$

für beliebige (kontinuierliche) Funktion $f(x)$

$$\delta(x) \simeq (\text{z.B.}) \lim_{\epsilon \rightarrow 0} \frac{1}{\sqrt{2\pi}\epsilon} e^{-x^2/2\epsilon^2}$$



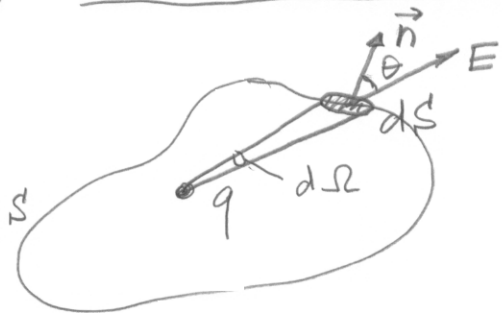
$$\delta(\vec{r}) = \delta(x)\delta(y)\delta(z)$$

Die Formel (*) gilt auch für eine stetige Ladungsdichte $p(\vec{r})$, die man als ein Limit $n \rightarrow \infty$, $q_i \rightarrow 0$ der Summe $\sum_{i=1}^n q_i \delta(\vec{r}-\vec{r}_i)$ darstellen kann

$$\sum_{i=1}^n q_i \delta(\vec{r}-\vec{r}_i) \rightarrow p(\vec{r})$$

- 8 -

③ Gauß'sches Gesetz



Punktladung q

Geschlossene Fläche S

\vec{n} - außen gerichtete Flächenormale

$$\vec{E} \cdot \vec{n} \cdot dS = \frac{q}{4\pi\epsilon_0} \frac{\cos\theta}{r^2} dS = \frac{q}{4\pi\epsilon_0} d\Omega$$

$$\oint_S \vec{E} \cdot \vec{n} \cdot dS = \begin{cases} \frac{q}{\epsilon_0}, & \text{when } q \text{ innerhalb von } S \text{ liegt} \\ 0, & \text{--- --- ausserhalb --- ---} \end{cases}$$

räumlicher Winkel

das Gauß'sche Gesetz für 1 Punktladung

Für mehrere Ladungen

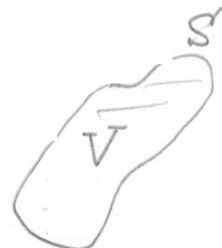
$$\oint_S dS \vec{E} \cdot \vec{n} = \frac{1}{\epsilon_0} \sum_i q_i$$

\nearrow innerhalb S'

Für eine Ladungsdichte $p(\vec{r})$:

Gauß'sches Gesetz

$$\oint_S dS \vec{E} \cdot \vec{n} = \frac{1}{\epsilon_0} \int_V d^3r p(\vec{r})$$



Differentielle Form des Gauß'schen Gesetzes

Gauß'scher Integralsatz

$$\oint_S \vec{A} \cdot \vec{n} dS = \int_V \vec{\nabla} \cdot \vec{A} d^3r$$

Danit können wir das Gauß'sche Gesetz auf die folgende Form bringen

$$\int_V d^3r (\vec{\nabla} \cdot \vec{E} - \frac{1}{\epsilon_0} p(\vec{r})) = 0$$

$\vec{A}(\vec{r})$ - beliebiges stetig differenzierbares Vektorfeld

∇ -beliebig \Rightarrow

-9-

$$\boxed{\vec{\nabla} \cdot \vec{E} = \frac{1}{\epsilon_0} \rho}$$

differentielle Form
des Gauß'schen Gesetzes;
eine der Maxwell-Gl.

(4) Skalarpotential und Wirbelfreiheit des elektrost. Feldes

$$\vec{E}(\vec{r}) = \frac{1}{4\pi\epsilon_0} \int \rho(\vec{r}') \frac{\vec{r} - \vec{r}'}{|\vec{r} - \vec{r}'|^3} d^3 r'$$

$$\frac{\vec{r} - \vec{r}'}{|\vec{r} - \vec{r}'|^3} = - \vec{\nabla}_r \frac{1}{|\vec{r} - \vec{r}'|}$$

$$\Rightarrow \vec{E}(\vec{r}) = - \frac{1}{4\pi\epsilon_0} \vec{\nabla}_r \int d^3 r' \rho(\vec{r}') \frac{1}{|\vec{r} - \vec{r}'|}$$

$$= - \vec{\nabla} \Phi$$

$$\Phi(\vec{r}) = \frac{1}{4\pi\epsilon_0} \int d^3 r' \frac{\rho(\vec{r}')}{|\vec{r} - \vec{r}'|}$$

Skalarpotential

$$\vec{\nabla} \times \vec{\nabla} \Phi = 0 \Rightarrow \boxed{\vec{\nabla} \times \vec{E} = 0}$$

noch eine
Maxwell-Gl.
im stat. Limes

$$\text{Für Punktladungen } \Phi(\vec{r}) = \frac{1}{4\pi\epsilon_0} \sum_{i=1}^n \frac{q_i}{|\vec{r} - \vec{r}_i|}$$

Physikalische Bedeutung:



Probelaadung q_j
wird transportiert $A \rightarrow B$

Kraft $\vec{F} = q \vec{E}$ \Rightarrow Arbeit, die man leisten muss:

$$W = - \int_A^B \vec{F} d\vec{l} = -q \int_A^B \vec{E} d\vec{l} = q \int_A^B \vec{\nabla} \Phi d\vec{l}$$

$$= q \int_A^B d\Phi = q(\Phi_B - \Phi_A)$$

unabhängig vom
Weg $A \rightarrow B$

- 10 -

\Rightarrow potenzielle Energie

$$U(\vec{r}) = q \Phi(\vec{r})$$

Die Unabhängigkeit der Arbeit von dem Weg $A \rightarrow B$ folgt auch aus den Stokes'schen Satz:



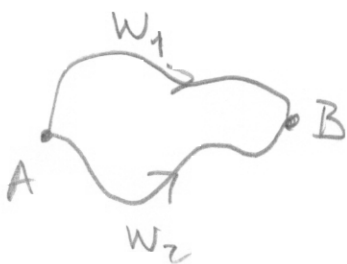
$$\oint_C d\vec{l} \cdot \vec{A} = \int_S dS \vec{n} \cdot (\vec{\nabla} \times \vec{A})$$

$$\vec{\nabla} \times \vec{E} = 0$$

\Rightarrow

$$\int_C \vec{E} \cdot d\vec{l} = 0$$

\vec{E} - konservatives Feld



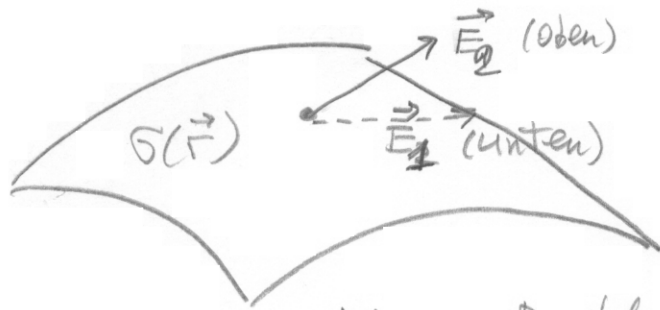
$$W_1, W_2 = 0$$

\Rightarrow keine geschlossenen Feldlinien in der Elektrostatik
(Feldlinie = Linie, für die \vec{E} an jedem Punkt die Tangentenrichtung angibt)



⑤ Anwendung:

Randbedingungen für Flächenladungsverteilung

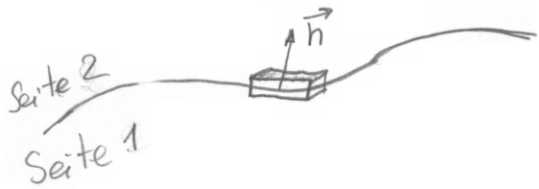


$$\sigma(\vec{r}) -$$

Flächenladungs-
dichte
(Coulomb/m²)

Eines der wichtigen Problemen der Elektrostatik:

Bestimmen von Φ und \vec{E} einer gegebenen Flächenladungsverteilung. Ein Teil der Lösung: Randbedingungen:



Gauß'sches Gesetz

$$\rightarrow (\vec{E}_2 - \vec{E}_1) \cdot \vec{n} = \frac{\sigma}{\epsilon_0}$$

$$\Rightarrow E_{2\perp} - E_{1\perp} = \sigma / \epsilon_0$$

$$\int_C \vec{E} \cdot d\vec{l} = 0 \Rightarrow \vec{E}_{2\parallel} = \vec{E}_{1\parallel}$$

- 11 -

$$\int_a^b \vec{E} \cdot d\vec{l} = \Phi_b - \Phi_a$$

$$\Rightarrow \boxed{\Phi_2 = \Phi_1} \text{ kontinuierlich}$$

⑥ Poisson-Gleichung und Laplace-Gleichung

$$\vec{E} = -\vec{\nabla}\phi \quad \left| \Rightarrow \vec{\nabla}^2 \phi = -\frac{1}{\epsilon_0} \rho \right.$$

Poisson-Gleichung

$$\vec{\nabla} \cdot \vec{E} = \frac{1}{\epsilon_0} \rho$$

$$\vec{\nabla}^2 = \Delta$$

$$\rho = 0 \rightarrow \vec{\nabla}^2 \phi = 0 \quad \text{Laplace-Gleichung}$$

Für gegebene ρ die Lösung der Poisson-Gleichung lautet

$$\phi(\vec{r}) = \frac{1}{4\pi\epsilon_0} \int d^3 r' \rho(\vec{r}') \frac{1}{|\vec{r} - \vec{r}'|}$$

$$\Rightarrow -\frac{1}{\epsilon_0} \rho(\vec{r}) = \frac{1}{4\pi\epsilon_0} \int d^3 r' \rho(\vec{r}') \vec{\nabla}_r^2 \frac{1}{|\vec{r} - \vec{r}'|}$$

$$\Rightarrow \boxed{\vec{\nabla}_r^2 \frac{1}{|\vec{r} - \vec{r}'|} = -4\pi \delta(\vec{r} - \vec{r}')}}$$

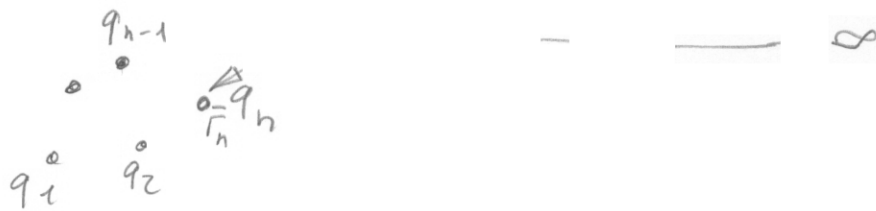
- 12 -



WTI

⑦ Elektrostatische Energie

- n Punktladungen



Arbeit, die notwendig ist, um q_n von unendlich nach \vec{r}_n zu bringen

$$W_n = q_n \Phi_n(\vec{r}_n) \quad \Phi_n(\vec{r}_n) = \frac{1}{4\pi\epsilon_0} \sum_{i=1}^{n-1} \frac{q_i}{|\vec{r}_n - \vec{r}_i|}$$

[benutzt: $\Phi_n(\infty) = 0$]

Bringen alle Ladungen $q_1 \dots q_n$ sukzessive an die Positionen $\vec{r}_1 \dots \vec{r}_n$:

$$\rightarrow W = \frac{1}{4\pi\epsilon_0} \sum_{i=1}^n \sum_{j < i} \frac{q_i q_j}{|\vec{r}_i - \vec{r}_j|} = \frac{1}{8\pi\epsilon_0} \sum_{i,j} \frac{q_i q_j}{|\vec{r}_i - \vec{r}_j|} \quad (i \neq j)$$

gesamte potentielle Energie

$$W = \frac{1}{2} \sum_{i=1}^n q_i \Phi(\vec{r}_i) ; \quad \Phi(\vec{r}_i) = \frac{1}{4\pi\epsilon_0} \sum_{j \neq i} \frac{q_j}{|\vec{r}_i - \vec{r}_j|}$$

Potential erzeugt von allen anderen Ladungen

-13-

- kontinuierlich verteilte Ladung

$$W = \frac{1}{8\pi\epsilon_0} \int d^3r d^3r' \frac{p(\vec{r}) p(\vec{r}')}{|r - r'|} = \frac{1}{2} \int d^3r p(\vec{r}) \Phi(\vec{r})$$

$$= -\frac{\epsilon_0}{2} \int d^3r \vec{\phi} \nabla \cdot \vec{\phi} = \frac{\epsilon_0}{2} \int d^3r \vec{\nabla} \phi \cdot \vec{\nabla} \phi$$

$$= \frac{\epsilon_0}{2} \int d^3r |\vec{E}|^2$$

endliche Ladungsverteilung
 $\rightarrow \phi$ verschwindet
 für $r \rightarrow \infty$ hinreichend
 schnell, keine Randtermen

$$\boxed{w(\vec{r}) = \frac{\epsilon_0}{2} |\vec{E}(r)|} \quad | \text{ Energie dichte}$$

- Scheindächerer Widerspruch:

$$W_{\text{kont}} = \frac{\epsilon_0}{2} \int d^3r |\vec{E}|^2 \geq 0 \quad \text{immer positiv}$$

$$W_{\text{Punkt}} = \frac{1}{8\pi\epsilon_0} \sum_{ij} \frac{q_i q_j}{|r_i - r_j|} \quad \begin{matrix} \text{kann auch negativ} \\ \text{sein} \end{matrix}$$

Erklärung

$$W_{\text{kont}} \underbrace{\frac{1}{8\pi\epsilon_0} \int d^3r d^3r' \frac{p(\vec{r}) p(\vec{r}')}{|\vec{r} - \vec{r}'|}}_{\text{Punktlad.}} \rightarrow \frac{1}{8\pi\epsilon_0} \sum_{ij} \frac{q_i q_j}{|r_i - r_j|}$$

enthält auch unendliche
 Selbstenergie ($i=j$)

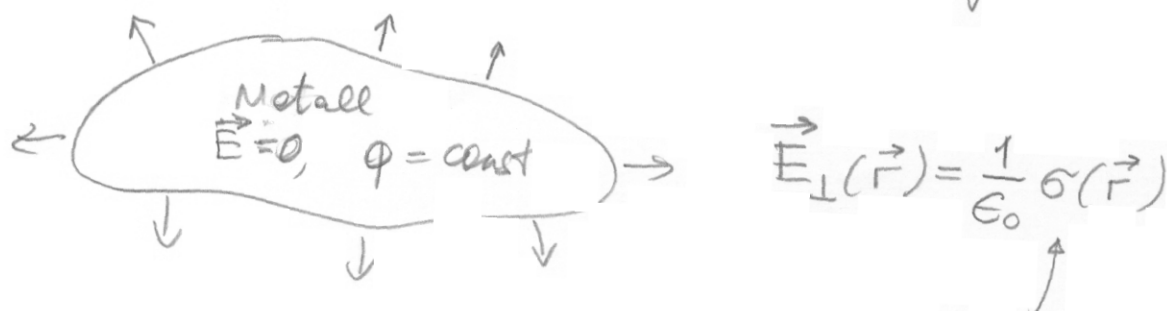
⑧ Randwertprobleme

$$p(r) \text{ gegeben} \rightarrow \Phi(r) = \frac{1}{4\pi\epsilon_0} \int \frac{d^3r' p(r')}{|\vec{r} - \vec{r}'|} ; \vec{E} = -\nabla \Phi$$

Aber:

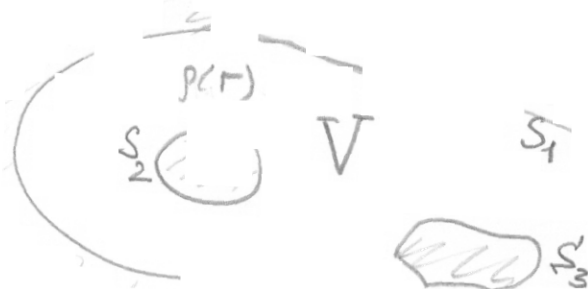
Elektrische Leiter (Metalle) \rightarrow Ladungen beweglich
 \rightarrow im Metall $\vec{E} = 0, \Phi(r) = \text{const}$

An der Oberfläche: induzierte Ladungen



Ladungsdichte
auf der Oberfläche
(nicht bekannt, muss
bestimmt werden)

Randwertproblem: allgemeine Formulierung:



Volumen V mit Ladungsdichte $p(r)$

Poisson-Gleichung

$$\vec{\nabla}^2 \Phi = -\frac{1}{\epsilon_0} p \quad \text{in } V$$

mit Randbedingungen auf Oberflächen S_i

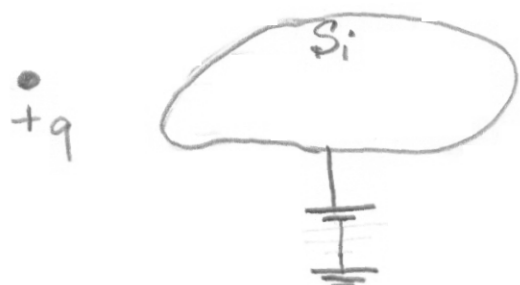
-15-

$\Phi(\vec{r})$ für $\vec{r} \in S_i$ gegeben - Dirichlet-Randbedingung

$\frac{\partial \Phi}{\partial n}(\vec{r})$ für $\vec{r} \in S_i$ gegeben - Neumann-Randbedingung
 $\uparrow = \vec{\nabla} \Phi \cdot \vec{n}$

am Metall-Oberfläche $\Phi = \text{const}$ \rightarrow Dirichlet-Randbedingung
Zwei Fälle:

i)



$$\Phi(r)|_{S_i} = \Phi_i \text{ gegeben}$$

(e.g. geerdeter Leiter $\rightarrow \Phi_i = 0$)

ii)



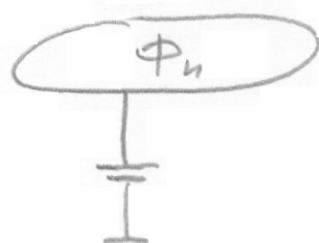
$$\Phi(r)|_{S_i} = \Phi_i \text{ nicht bekannt}$$

$$Q_i = \int_{S_i} \sigma(\vec{r}) dS \text{ gegeben}$$

Algorithmus: a) löse mit beliebigem Φ_i :
b) finde $\sigma[\Phi_i]$
c) löse $Q = \int_S \sigma[\Phi_i] dS \rightarrow \Phi_i$

Matrix der Kapazitäten:

n Leiter im sonst leeren Raum



- 16 -

$$Q_i = \sum_{j=1}^n C_{ij} \Phi_j \quad C_{ij} \text{ - Kapazitätskoeffizienten, } \\ (\text{Matrix der Kapazitäten})$$

C_{ij} werden durch Lösung des entsprechenden Randwertproblems bestimmt

Um $\{\Phi_i\}$ durch $\{Q_j\}$ auszudrücken, invertiert man die Matrix C

$$\Phi_i = \sum_{j=1}^n (C^{-1})_{ij} Q_j$$

Q_1

Q_2

Q_n

Elektrostatische Energie:

$$W = \frac{1}{2} \int d^3r \rho(r) \Phi(r) = \frac{1}{2} \sum_i Q_i \Phi_i \\ = \frac{1}{2} \sum_{ij} (C^{-1})_{ij} Q_i Q_j = \frac{1}{2} \sum_{ij} C_{ij} \Phi_i \Phi_j$$

(9) Formale Lösung des Randwertproblems mithilfe der Green'schen Funktion

$$\int \vec{\nabla} \cdot \vec{A} d^3x - \oint \vec{A} \cdot \vec{n} dS \Leftrightarrow$$

Wir wählen $\vec{A} = \varphi \vec{\nabla} \psi$

$$\vec{\nabla} \cdot \vec{A} = \vec{\nabla} \varphi \cdot \vec{\nabla} \psi + \varphi \vec{\nabla}^2 \psi$$

Gauß'scher Integralsetz

$$\rightarrow \oint_S \varphi \vec{\nabla} \psi \cdot \vec{n} = \int_V d^3x (\vec{\nabla} \varphi \cdot \vec{\nabla} \psi + \varphi \vec{\nabla}^2 \psi)$$

$$\vec{\nabla} \psi \cdot \vec{n} = \frac{\partial \psi}{\partial n}$$

Ableitung in Richtung der äußeren Normalen von S

$$\oint_S \varphi \frac{\partial \psi}{\partial n} = \int_V d^3x (\vec{\nabla} \varphi \cdot \vec{\nabla} \psi + \varphi \vec{\nabla}^2 \psi)$$

1-ster Green'sche Identität
(1-ster Green'scher Satz)

$\psi \leftrightarrow \varphi$ + Subtraktion \rightarrow

$$\oint_S dS \left(\varphi \frac{\partial \psi}{\partial n} - \psi \frac{\partial \varphi}{\partial n} \right) = \int_V d^3x (\varphi \vec{\nabla}^2 \psi - \psi \vec{\nabla}^2 \varphi)$$

2-te(r) G. Identität
(Satz)

Wir benutzen jetzt die Green'sche Identität zu zeigen, dass die Lösung des Randwertproblems eindeutig ist

$$\int_S p(x) \varphi \frac{\partial \psi}{\partial n} dS = \int_V d^3x (\varphi \vec{\nabla}^2 \psi - \psi \vec{\nabla}^2 \varphi)$$

mit einer Dirichlet'schen (oder Neumann'schen) Randbedingung auf S

Nehmen wir an es gebe zwei Lösungen φ_1, φ_2

$$\rightarrow V = \varphi_2 - \varphi_1$$

Dann $\nabla^2 U = 0$ und $U|_S = 0$ oder $\frac{\partial U}{\partial n}|_S = 0$
 (Dirichlet) (Neumann)

1ste Greensche Identität mit $\varphi = \psi = U \Rightarrow$

$$\int_V d^3r (\vec{\nabla}U \cdot \vec{\nabla}U + U \nabla^2 U) = \oint_S d\zeta U \frac{\partial U}{\partial n} = 0$$

$$\Rightarrow \int_V d^3r |\vec{\nabla}U|^2 = 0 \Rightarrow U = \text{const} \xrightarrow{\text{Dirichlet}} U = 0$$

die Lösung ist eindeutig

(für Neumann-Randbedingungen: abgesehen von einer willkürlichen additiven Konstanten)

Diese Lösung kann man mithilfe der Greenschen Funktion uniquely ermitteln:

$$\nabla_{\vec{r}}^2 G(\vec{r}, \vec{r}') = -4\pi \delta(\vec{r} - \vec{r}') \quad G - \underline{\text{Greensche Funktion}}$$

$$\text{auch } \nabla_{\vec{r}'}^2 G(\vec{r}, \vec{r}') = 4\pi \delta(\vec{r} - \vec{r}')$$

z.B. $\frac{1}{|\vec{r} - \vec{r}'|}$ ist eine S.F.

In Allgemeinen

$$G(\vec{r}, \vec{r}') = \frac{1}{|\vec{r} - \vec{r}'|} + F(\vec{r}, \vec{r}'), \quad \nabla_{\vec{r}}^2 F(\vec{r}, \vec{r}') = 0$$

Die Funktion F wird durch Randbedingungen bestimmt.

Für Dirichlet Randbedingungen wir fordern

$$G(\vec{r}, \vec{r}') \Big|_{\vec{r}' \in S} = 0$$

Bemerkung: man kann zeigen, dass $G(\vec{r}, \vec{r}') = G(\vec{r}', \vec{r})$
 Damit kann man äquivalent $G(\vec{r}, \vec{r}')|_{\vec{r} \in S} = 0$ anfordern

2-te Greensche Identität

$$\oint_S dS \left(\varphi \frac{\partial \psi}{\partial n} - \psi \frac{\partial \varphi}{\partial n} \right) = \int_V d^3 r (\varphi \nabla^2 \psi - \psi \nabla^2 \varphi)$$

Wir wählen:
 $\varphi(\vec{r}') = \Phi(\vec{r}')$ $\psi(\vec{r}') = G(\vec{r}, \vec{r}')$

$$\begin{aligned} \oint_S dS' \left[\Phi(\vec{r}') \frac{\partial G(\vec{r}, \vec{r}')}{\partial n'} - G(\vec{r}, \vec{r}') \frac{\partial \Phi(\vec{r}')}{\partial n'} \right] &= \\ &= \int_V d^3 r' \left[\Phi(\vec{r}') (-4\pi \delta(\vec{r} - \vec{r}')) - G(\vec{r}, \vec{r}') \left(-\frac{1}{\epsilon_0} \rho(\vec{r}') \right) \right] \end{aligned}$$

$$\Rightarrow \Phi(\vec{r}) = \frac{1}{4\pi\epsilon_0} \int_V d\vec{r}' G(\vec{r}, \vec{r}') \rho(\vec{r}') + \frac{1}{4\pi} \oint_S dS' \left[G(\vec{r}, \vec{r}') \frac{\partial \Phi(\vec{r}')}{\partial n'} - \Phi(\vec{r}') \cdot \frac{\partial G(\vec{r}, \vec{r}')}{\partial n'} \right]$$

Das war allgemein

Dirichlet-Randbed. $\rightarrow \dot{\varphi}(\vec{r}, \vec{r}')|_{\vec{r}' \in S} = 0 \Rightarrow$

$$\Phi(\vec{r}) = \frac{1}{4\pi\epsilon_0} \int_V d^3 r' G(\vec{r}, \vec{r}') \rho(\vec{r}') - \frac{1}{4\pi} \oint_S dS' \Phi(\vec{r}') \frac{\partial G(\vec{r}, \vec{r}')}{\partial n'}$$

Spezieller Fall:

$\rho(\vec{r}) \leftarrow$ Ladungsdichte in freiem Raum (keine metallische Leiter)

$$\rightarrow \Phi(\vec{r}) = \frac{1}{4\pi\epsilon_0} \int_V d^3 r' \rho(\vec{r}') \frac{1}{|\vec{r} - \vec{r}'|}$$

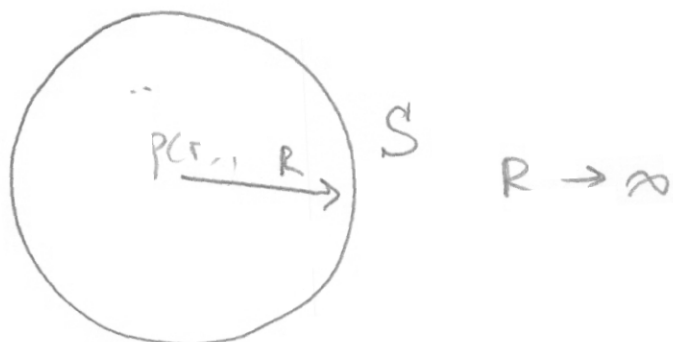
Lösung des Randwertproblems
mit Dirichlet-R.b.

- 20 -

$$\Rightarrow G(\vec{r}, \vec{r}') = \frac{1}{|\vec{r} - \vec{r}'|}$$

$$G(\vec{r}, \vec{r}') \Big|_{\vec{r}' \rightarrow \infty} = 0$$

Dirichlet-Randbedingung
auf der "unendlich
weiten Oberfläche":



Wir haben eine formale Lösung gefunden

$$\underbrace{\Phi}_{\Phi|_S} \Big| \rightarrow \Phi = \frac{1}{4\pi\epsilon_0} \int_V G_p - \frac{1}{4\pi} \oint_S \frac{\partial G}{\partial n} \Phi$$

Vorteil:
 G (für gegebene V, S) bekannt
 $\rightarrow \Phi$ für beliebige
 $\rho|_V, \Phi|_S$

Potential einer Flächen-
ladungsdichte, die an den
Leitern durch Anwesenheit
vom Punktladung am r'
indiziert wird

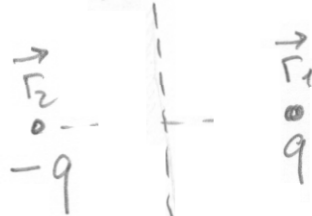
Man braucht aber erst die G.F. $G(r, r')$
zu berechnen... In der Praxis, gibt es eine
Reihe von Methoden, die die G.F. nicht
direkt benutzen.

(10) Methode der Bildladungen (\Rightarrow Spiegelladungen)

$\phi = 0$ (geerdete Metallplatte)

$$\boxed{\Phi(x>0) = ?}$$

$$a \bullet q$$



$$x=0 \quad V = \{x > 0\} \\ S = \{x = 0\}$$

$$\Phi(\vec{r}) (=) \frac{1}{4\pi\epsilon_0} \sum_i \frac{q_i}{|\vec{r} - \vec{r}_i|} = \frac{1}{4\pi\epsilon_0} \left[\frac{q}{|\vec{r} - \vec{r}_1|} + \frac{-q}{|\vec{r} - \vec{r}_2|} \right] \quad (*)$$

$$\vec{r}_1 = (a, 0, 0) \quad \vec{r}_2 = (-a, 0, 0)$$

$$\nabla^2 \Phi(\vec{r}) \Big|_{x>0} = -\frac{q}{\epsilon_0} \left[\delta(\vec{r} - \vec{r}_1) - \delta(\vec{r} - \vec{r}_2) \right] = -\frac{1}{\epsilon_0} \rho \quad \rightarrow$$

$$\Phi \Big|_{x=0} = 0$$

\rightarrow das Problem wurde gelöst

Die Lösung dieses Problems \leftrightarrow Ermittlung der G.F (bis zum Faktor $q/4\pi\epsilon_0$)

Der zweite Term in (*) entspricht der

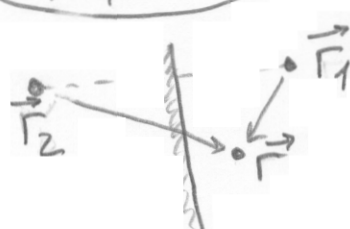
Funktion $F(\vec{r}, \vec{r}_1)$ in

$$G(\vec{r}, \vec{r}_1) = \frac{1}{|\vec{r} - \vec{r}_1|} + F(\vec{r}, \vec{r}_1) ; \quad \nabla^2 F \Big|_V = 0$$

Es wurde so gewählt, dass $\Phi \Big|_{S=\{x=0\}} = 0$

$$G(\vec{r}, \vec{r}_1) = \frac{1}{|\vec{r} - \vec{r}_1|} - \frac{1}{|\vec{r} - \vec{r}_2|} \quad \text{für } x, x_1 > 0$$

$$\vec{r}_1 = (x_1, y_1, z_1) \rightarrow \vec{r}_2 = (-x_1, y_1, z_1)$$

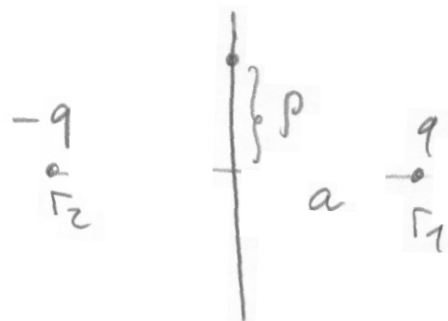


$x=0$

-22-

$$\begin{aligned} -q \\ \bullet \\ (-q, 0, 0) \\ = \vec{r}_2 \end{aligned}$$

$$\begin{aligned} q \\ \bullet \\ (q, 0, 0) = \vec{r}_1 \end{aligned}$$



Elektrisches Feld

$$\vec{E} = -\vec{\nabla}\phi = \frac{q}{4\pi\epsilon_0} \left[\frac{\vec{r}-\vec{r}_1}{|\vec{r}-\vec{r}_1|^3} - \frac{\vec{r}-\vec{r}_2}{|\vec{r}-\vec{r}_2|^3} \right]$$

Oberflächenladungsdichte ($x=0$)

$$\sigma_{(y,z)} = \epsilon_0 E_x(y,z) \Big|_{x=+0} = \frac{-qa}{2\pi(a^2+y^2+z^2)^{3/2}} = \frac{-qa}{2\pi(a^2+p^2)^{3/2}}$$

$$p^2 = y^2 + z^2$$

Gesamtladung auf der Metallplatte

$$q_{\text{infl}} = 2\pi \int_0^\infty dp p \sigma(p) = -q \quad (\text{Influenzladung})$$

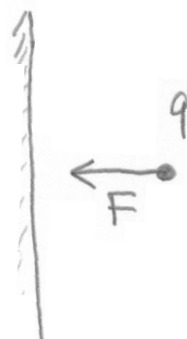
Kraft auf die Punktladung q :

$$\vec{F} = q \vec{E}'$$

$$\vec{E}' = \frac{-q}{4\pi\epsilon_0} \frac{\vec{r}-\vec{r}_2}{|\vec{r}-\vec{r}_2|^3}$$

$$\vec{F} = \frac{1}{4\pi\epsilon_0} \frac{q^2}{4a^2} (-\vec{e}_x)$$

Anziehung

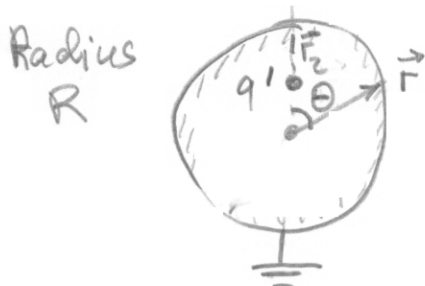


-23-

Punktladung und geerdete ($\varphi=0$) metallische Kugel

$$q \bullet \vec{r}_1$$

$$\varphi(\vec{r}) = \frac{1}{4\pi\epsilon_0} \left[\frac{q}{|\vec{r}-\vec{r}_1|} + \frac{q'}{|\vec{r}-\vec{r}_2|} \right]$$



$$\vec{r}_1 = (0, 0, a)$$

a, q - gegeben

$$\vec{r}_2 = (0, 0, b)$$

b, q' - ?

$$\varphi(|\vec{r}|=R) = \frac{q/4\pi\epsilon_0}{\sqrt{R^2+a^2-2Ra\cos\theta}} + \frac{q'/4\pi\epsilon_0}{\sqrt{R^2+b^2-2Rb\cos\theta}} \stackrel{!}{=} 0$$

erfüllt wenn

$$q' = -\frac{Ra}{a}, \quad b = \frac{R^2}{a}$$

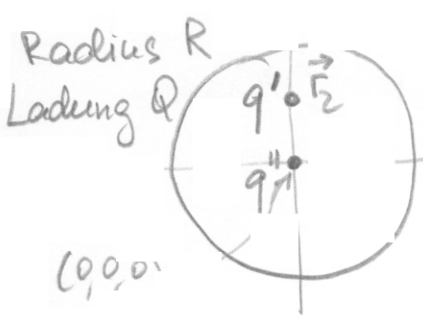
Punktladung und isolierte metallische Kugel
mit Ladung φ

$$q \bullet \vec{r}_1$$

$$\vec{r}_1 = (0, 0, a)$$

$$\vec{r}_2 = (0, 0, b)$$

$$\varphi(\vec{r}) = \frac{1}{4\pi\epsilon_0} \left[\frac{q}{|\vec{r}-\vec{r}_1|} + \frac{q'}{|\vec{r}-\vec{r}_2|} + \frac{q''}{|\vec{r}|} \right]$$



$$q' = -\frac{Ra}{a}, \quad b = \frac{R^2}{a}, \quad q'' = Q - q'$$

$$\varphi(|\vec{r}|=R) = \frac{q''}{R}$$

- 24 -

Punktladung und metallische Kugel mit $\Phi \neq 0$



identisch zum letzten Beispiel
mit $q'' = R\phi$

$$Q = q' + R\phi$$

(11) Entwicklung nach orthogonalen Funktionen

$\nabla^2 \Phi = 0$ Laplace-Gl. — Modellbeispiel einer partiellen Differentialgleichung

Leistungsfähiges Verfahren: Entwicklung nach orthogonale Funktionen (die Wahl der Funktionen hängt von der Symmetrie des Problems ab (im Allgemeinen, komplexen))

Wir betrachten erste Funktionen $g(x)$, $x \in (a, b)$
Skalarprodukt $(g, h) = \int_a^b g(x)h^*(x) dx$ es kann auch $(-\infty, \infty)$ sein

$$(g, h) = \int_a^b g(x)h^*(x) dx = (h, g)^*$$

$$\begin{aligned} (g, h) &= 0 && \text{orthogonal} \\ (g, g) &= 1 && \text{normiert} \end{aligned}$$

für reelle Funktionen
der Stern ist natürlich nicht nötig

$$\{f_n\}, n=1, 2, 3, \dots \quad (f_m, f_n) = \delta_{mn} \quad \text{(1) orthonormiert}$$

Vollständigkeit: für beliebige quadratintegrale $g(x)$ gilt

$$g(x) = \sum_{n=1}^{\infty} a_n f_n(x) \quad a_n = (g, f_n)$$

$$\left[\text{d.h. } \int \left| g - \sum_{n=1}^N a_n f_n \right|^2 dx \xrightarrow{N \rightarrow \infty} 0 \right]$$

$$g(x) = \sum_{n=1}^{\infty} \int dx' g(x') f_n^*(x') f_n(x) = \int dx' g(x') \sum_{n=1}^{\infty} f_n^*(x') f_n(x)$$

-25-

$$\Rightarrow \left[\sum_{n=1}^{\infty} f_n^*(x') f_n(x) = \delta(x' - x) \right] \text{(2) Vollständigkeitsrelation}$$

(1), (2) $\Rightarrow \{f_n\}$ - vollständiger

Satz orthogonaler Funktionen

Das bekannteste Beispiel: $(a, b) = (-\frac{L}{2}, \frac{L}{2})$, $\{f_n\} = \sqrt{\frac{2}{L}} \left\{ \frac{1}{\sqrt{2}}, \sin \frac{2\pi x}{L}, \cos \frac{2\pi x}{L}, \frac{\sin 4\pi x}{L}, \frac{\cos 4\pi x}{L}, \dots \right\}$
 [oder $(0, L)$]

\rightarrow Fourier-Reihen

Alternativ, kann man exponentielle Funktionen benutzen:

$$\{f_n\} = \sqrt{\frac{1}{L}} e^{2\pi i m x / L}, \quad m = 0, \pm 1, \pm 2, \dots$$

$$g(x) = \frac{1}{\sqrt{L}} \sum_{m=-\infty}^{\infty} a_m e^{2\pi i m x / L}, \quad a_m = \frac{1}{\sqrt{L}} \int_{-L/2}^{L/2} dx g(x) e^{-2\pi i m x / L}$$

Bemerkung:

Im Limes $L \rightarrow \infty$ Fourier-Reihe \rightarrow Fourier-Integral:

$$\frac{2\pi m}{L} \rightarrow k, \quad \sum_m \rightarrow \frac{L}{2\pi} \int_{-\infty}^{\infty} dk, \quad a_m \rightarrow \sqrt{\frac{2\pi}{L}} a(k)$$

$$\Rightarrow g(x) = \frac{1}{\sqrt{2\pi}} \int_{-\infty}^{\infty} a(k) e^{ikx} dk, \quad a(k) = \frac{1}{\sqrt{2\pi}} \int_{-\infty}^{\infty} dx g(x) e^{-ikx}$$

$$\text{Orthogonalisierung: } \frac{1}{2\pi} \int_{-\infty}^{\infty} e^{i(k-k')x} dx = \delta(k - k')$$

$$\text{Vollständigkeit } \frac{1}{2\pi} \int_{-\infty}^{\infty} e^{ik(x-x')} dk = \delta(x - x')$$

(12) Kartesische Koordinaten: Trennung der Variablen
 (= Separation)

$$\text{Laplace - Gl. } \nabla^2 \Phi = 0 \rightarrow \frac{\partial^2 \Phi}{\partial x^2} + \frac{\partial^2 \Phi}{\partial y^2} + \frac{\partial^2 \Phi}{\partial z^2} = 0$$

$$\text{Ansatz: } \Phi(x, y, z) = A(x)B(y)C(z)$$

Einsetzen in $\nabla^2 \Phi = 0$, dividieren durch $\Phi = ABC \rightarrow$

$$\frac{1}{A(x)} \frac{d^2 A(x)}{dx^2} + \frac{1}{B(y)} \frac{d^2 B(y)}{dy^2} + \frac{1}{C(z)} \frac{d^2 C(z)}{dz^2} = 0$$

$$\Rightarrow \begin{cases} \frac{1}{A} \frac{d^2 A}{dx^2} = \text{const} = \alpha^2 \\ \frac{1}{B} \frac{d^2 B}{dy^2} = \text{const} = \beta^2 \\ \frac{1}{C} \frac{d^2 C}{dz^2} = \text{const} = \gamma^2 \end{cases} \quad \text{und} \quad \alpha^2 + \beta^2 + \gamma^2 = 0$$

! $\alpha^2, \beta^2, \gamma^2$ müssen nicht positiv sein, können auch negativ (oder komplex) sein

$$A(x) = e^{\pm \alpha x} \quad (\text{beliebige lineare Kombination von } e^{+\alpha x} \text{ und } e^{-\alpha x})$$

$$B(y) = e^{\pm \beta y}$$

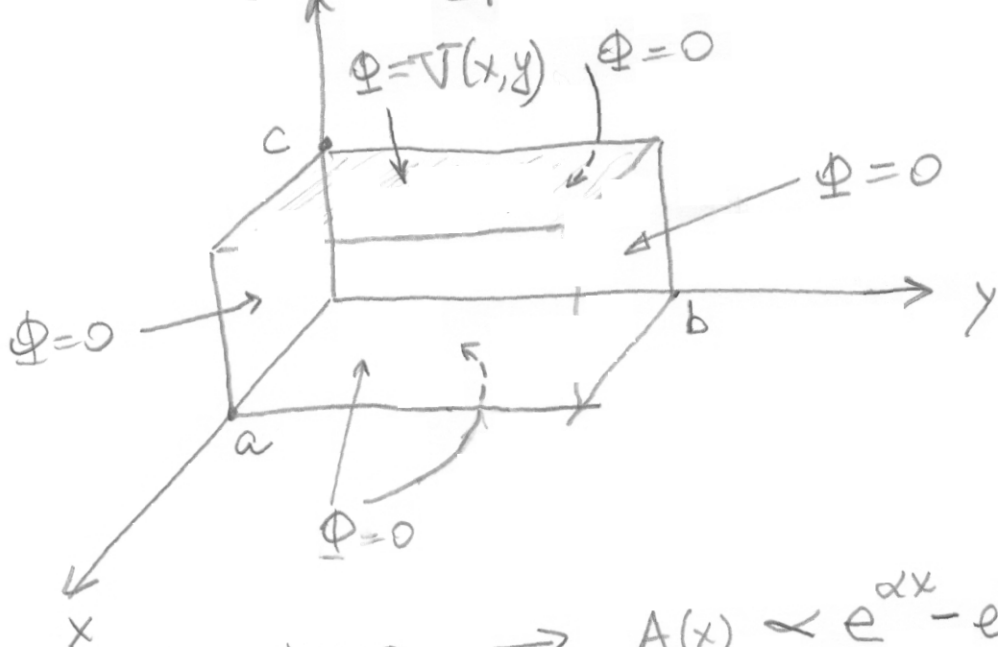
$$C(z) = e^{\pm \gamma z}$$

Sehr viel Lösungen von $\nabla^2 \Phi = 0$: beliebige lineare Superposition von solchen $\Phi = ABC$ ist auch eine Lösung.

Um α, β, γ , die zu so einer Superposition beitragen, und entsprechende Koeffizienten zu bestimmen muss man erst Randbedingungen festlegen.

Wir betrachten das folgende Beispiel

-27-



$$A(x=0) = 0 \Rightarrow A(x) \propto e^{\alpha x} - e^{-\alpha x} \propto \sinh \alpha x$$

$$B(y=0) = 0 \Rightarrow B(y) \propto e^{\beta y} - e^{-\beta y} \propto \sinh \beta y$$

$$C(z=0) = 0 \Rightarrow C(z) \propto e^{\gamma z} - e^{-\gamma z} \propto \sinh \gamma z$$

$$A(x=a) = 0 \Rightarrow \alpha_n = \frac{in\pi}{a}, A(x) \propto \sin\left(\frac{n\pi}{a}x\right)$$

$$B(y=b) = 0 \Rightarrow \beta_m = \frac{im\pi}{b}, B(y) \propto \sin\left(\frac{m\pi}{b}y\right)$$

$$\gamma^2 = -\alpha^2 - \beta^2 \rightarrow \gamma_{nm} = \pi \sqrt{\frac{n^2}{a^2} + \frac{m^2}{b^2}}$$

$$\Phi(x, y, z) = \sum_{n,m=1}^{\infty} D_{nm} \sin\left(\frac{n\pi}{a}x\right) \sin\left(\frac{m\pi}{b}y\right) \sinh\left(\sqrt{\frac{n^2}{a^2} + \frac{m^2}{b^2}}\pi c\right)$$

Letzte Randbedingung

$$\Phi(z=c) = \sum_{n,m=1}^{\infty} D_{nm} \sin\left(\frac{n\pi}{a}x\right) \sin\left(\frac{m\pi}{b}y\right) \sinh\left(\sqrt{\frac{n^2}{a^2} + \frac{m^2}{b^2}}\pi c\right) = V(x, y)$$

Das ist nichts anderes als eine doppelte Fourier-Reihe für die Funktion $V(x, y) \Rightarrow$

$$D_{nm} = \frac{4}{ab} \sinh\left(\sqrt{\frac{n^2}{a^2} + \frac{m^2}{b^2}}\pi c\right)$$

$$\int_0^a dx \int_0^b dy V(x, y) \sin\left(\frac{n\pi}{a}x\right) \sin\left(\frac{m\pi}{b}y\right)$$

$$\{f_{nm}(x, y)\} = \left\{ \sqrt{\frac{2}{a}} \sqrt{\frac{2}{b}} \sin\left(\frac{n\pi}{a}x\right) \sin\left(\frac{m\pi}{b}y\right), \begin{matrix} n=1, 2, 3, \dots \\ m=1, 2, 3, \dots \end{matrix} \right\} - \text{vollständiger orthogonormaler Satz (VONS)}$$

-27a-

Einsetzen des Resultats für D_{nm} in die Formel für

$$\Phi(x, y, z) \rightarrow$$
$$\Phi(x, y, z) = \int_0^a \int_0^b V(x', y') \sum_{n, m=1}^{\infty} \sin\left(\frac{n\pi}{a}x\right) \sin\left(\frac{m\pi}{b}y\right) \sinh\left(\sqrt{\frac{n^2}{a^2} + \frac{m^2}{b^2}}\pi z\right) \cdot \frac{4}{ab \sinh\left(\sqrt{\frac{n^2}{a^2} + \frac{m^2}{b^2}}\pi c\right)} \sin\left(\frac{n\pi}{a}x'\right) \sin\left(\frac{m\pi}{b}y'\right)$$

Vergleichen mit allgemeiner Formel

$$\Phi_{(\bar{r})} = \frac{1}{4\pi\epsilon_0} \int_V G(\bar{r}, \bar{r}') p(\bar{r}') - \frac{1}{4\pi} \oint_S \frac{\partial G(\bar{r}, \bar{r}')}{\partial n'} \Phi(\bar{r}')$$

$\rightarrow V$

Δ

Wir hatten hier $p=0$; haben nur den Term $\oint_S \frac{\partial G(\bar{r}, \bar{r}')}{\partial n'} \Phi(\bar{r}')$ bekommen
(Oberflächen-Beitrag)

Mit Hilfe der Entwicklung nach VONS von Eigenfunktionen kann man auch die G.F. $G(\bar{r}, \bar{r}')$ (und damit den Volumen-Beitrag) finden,

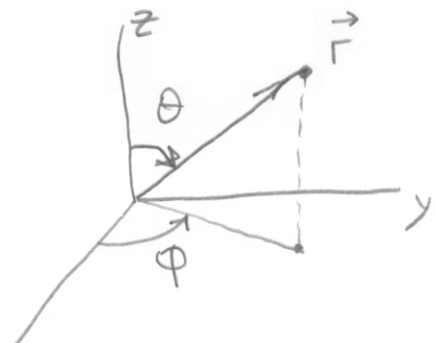
Siehe e.g. Jackson, 3.12

(13) Kugelkoordinaten

$$x = r \sin \theta \cos \varphi$$

$$y = r \sin \theta \sin \varphi$$

$$z = r \cos \theta$$



$\Phi(x, y, z) \rightarrow \Phi(r, \theta, \varphi)$; Laplace-Gl. \rightarrow

$$\nabla^2 \Phi = \frac{1}{r^2} \frac{\partial}{\partial r} \left(r^2 \frac{\partial \Phi}{\partial r} \right) + \frac{1}{r^2 \sin \theta} \frac{\partial}{\partial \theta} \left(\sin \theta \frac{\partial \Phi}{\partial \theta} \right) + \frac{1}{r^2 \sin^2 \theta} \frac{\partial^2 \Phi}{\partial \varphi^2} = 0$$

Ansatz (Separation der Variablen):

$$\Phi = \frac{U(r)}{r} P(\theta) Q(\varphi)$$

$$\nabla^2 \Phi = \frac{1}{r} \frac{d^2 U}{dr^2} PQ + \frac{U}{r} Q \frac{1}{r^2 \sin \theta} \frac{d}{d\theta} \left(\sin \theta \frac{dP}{d\theta} \right) + \frac{U}{r} P \frac{1}{r^2 \sin^2 \theta} \frac{d^2 Q}{d\varphi^2} = 0$$

Multiplizieren mit $r^3 \sin^2 \theta / (UPQ) \rightarrow$

$$\underbrace{r^2 \sin^2 \theta \left[\frac{1}{U} \frac{d^2 U}{dr^2} + \frac{1}{P} \frac{1}{r^2 \sin \theta} \frac{d}{d\theta} \left(\sin \theta \frac{dP}{d\theta} \right) \right]}_{\text{nur } r\text{-unabhängig}} + \underbrace{\frac{1}{Q} \frac{d^2 Q}{d\varphi^2}}_{\substack{\text{nur } \varphi\text{-abhängig} \\ \Rightarrow \text{const}}} = 0$$

$$\frac{1}{U} \frac{d^2 U}{dr^2} - m^2 \Rightarrow U = e^{\pm im\varphi}$$

Eindeutigkeit $\rightarrow m \in \mathbb{Z}$

$$\underbrace{\frac{r^2}{U} \frac{d^2 U}{dr^2}}_{\text{nur } r\text{-abhängig}} + \underbrace{\frac{1}{P \sin \theta} \frac{d}{d\theta} \left(\sin \theta \frac{dP}{d\theta} \right) - \frac{m^2}{\sin^2 \theta}}_{\text{nur } \theta\text{-abhängig}} = 0$$

$$\rightarrow \begin{cases} \frac{r^2}{U} \frac{d^2 U}{dr^2} = l(l+1) \\ \frac{1}{P \sin \theta} \frac{d}{d\theta} \left(\sin \theta \frac{dP}{d\theta} \right) - \frac{m^2}{\sin^2 \theta} = -l(l+1) \end{cases}$$

-29-

$$\left\{ \begin{array}{l} \frac{d^2 U}{dr^2} - \frac{l(l+1)}{r^2} U = 0 \\ \frac{1}{\sin \theta} \frac{d}{d\theta} \left(\sin \theta \frac{dP}{d\theta} \right) + \left[l(l+1) - \frac{m^2}{\sin^2 \theta} \right] P = 0 \end{array} \right. \quad (1)$$

$$\left. \begin{array}{l} \frac{1}{\sin \theta} \frac{d}{d\theta} \left(\sin \theta \frac{dP}{d\theta} \right) + \left[l(l+1) - \frac{m^2}{\sin^2 \theta} \right] P = 0 \end{array} \right. \quad (2)$$

(1) → allgemeine Lösung: $U(r) = A r^{l+1} + B r^{-l}$

$$(2): \cos \theta = x \quad \frac{d}{dx} = \frac{1}{dx/d\theta} \frac{d}{d\theta} = \frac{-1}{\sin \theta} \frac{d}{d\theta}$$

$$\rightarrow \frac{d}{dx} \left[(1-x^2) \frac{dP}{dx} \right] + \left[l(l+1) - \frac{m^2}{1-x^2} \right] P = 0$$

Erst $m=0$ [d.h. $Q(\varphi)=1$, Φ ist φ -unabhängig]

$$\frac{d}{dx} \left[(1-x^2) \frac{dP}{dx} \right] + l(l+1) P = 0$$

sonst ist die Lösung singulär bei $x=\pm 1$

→ Legendre-Polynome $P_l(x)$

$$P_l(x) = \frac{1}{2^l l!} \frac{d^l}{dx^l} (x^2 - 1)^l$$

$$\boxed{l = 0, 1, 2, 3, \dots}$$

$$P_0(x) = 1, \quad P_1(x) = x, \quad P_2(x) = \frac{1}{2}(3x^2 - 1), \quad P_3(x) = \frac{1}{2}(5x^3 - 3x)$$

$$P_4(x) = \frac{1}{8}(35x^4 - 30x^2 + 3), \dots \quad \boxed{P_l(1) = 1}$$

$$\int_{-1}^1 dx P_l(x) P_{l'}(x) = \frac{2}{2l+1} \delta_{l,l'}$$

$$\left\{ f_l(x) = \sqrt{\frac{2l+1}{2}} P_l(x), \quad l = 0, 1, 2, \dots \right\} - \text{vollständiger orthogonaler Satz auf } (-1, 1)$$

jetzt

-30 -

m beliebig (auch $\neq 0$)

$$\frac{d}{dx} \left[(1-x^2) \frac{dP}{dx} \right] + \left[l(l+1) - \frac{m^2}{1-x^2} \right] P = 0 \quad (\text{see p. 29})$$

→ zugeordnete Legendre-Polynome

$$P_l^m(x) = (-1)^m (1-x^2)^{m/2} \frac{d^m}{dx^m} P_l(x), \quad m \geq 0 \\ (m=0, 1, 2, \dots, l)$$

$$[P_l^0(x) \equiv P_l(x)]$$

$$P_l^{-m}(x) = (-1)^m \frac{(l-m)!}{(l+m)!} P_l^m(x)$$

!] für ungerade m
die zugeordnete L.-P.
sind eigentlich
keine Polynome
wegen des Faktors $(1-x^2)^{m/2}$

Äquivalente Definition, die sowohl für $m \geq 0$ als auch
für $m < 0$ gültig ist:

$$P_l^m(x) = \frac{(-1)^m}{2^l l!} (1-x^2)^{m/2} \frac{d^{l+m}}{dx^{l+m}} (x^2-1)^l$$

$$l=0, 1, 2, 3, \dots, \quad m = -l, -l+1, \dots, l-1, l$$

$$\int_{-1}^1 dx P_l^m(x) P_{l'}^{m'}(x) = \frac{2}{2l+1} \frac{(l+m)!}{(l-m)!} \delta_{ll'}$$

- Bei festem m bilden $P_l^m(x)$ einen vollständigen Satz orthogonaler Funktionen auf dem Intervall $x \in (-1, 1)$
- $Q_m(\varphi) = e^{im\varphi}, \quad m=0, \pm 1, \pm 2$ – vollständiger orthogonaler Satz auf $\varphi \in (0, 2\pi)$

$$\Rightarrow \left\{ P_l^m Q_m \equiv P_l^m(\cos \theta) e^{im\varphi}, \quad \begin{matrix} l=0, 1, 2, \dots, \\ m=-l, \dots, l \end{matrix} \right\} -$$

vollständiger Satz orthogonaler Funktionen auf der Oberfläche der Einheitskugel

-31-

Normierung \rightarrow

$$Y_{lm}(\theta, \varphi) = \sqrt{\frac{2l+1}{4\pi} \frac{(l-m)!}{(l+m)!}} P_l^m(\cos \theta) e^{im\varphi}$$

Kugelflächenfunktionen

Eigenschaften:

- Orthonormierung:

$$\int_0^{2\pi} d\varphi \int_0^\pi \sin \theta d\theta Y_{l'm'}^*(\theta, \varphi) Y_{lm}(\theta, \varphi) = \delta_{l'l} \delta_{m'm}$$

$\int d\Omega$

- Vollständigkeit:

$$\sum_{l=0}^{\infty} \sum_{m=-l}^l Y_{lm}^*(\theta', \varphi') Y_{lm}(\theta, \varphi) = \delta(\varphi - \varphi') \delta(\cos \theta - \cos \theta')$$

- $Y_{l,-m}(\theta, \varphi) = (-1)^m Y_{lm}^*(\theta, \varphi)$

- $Y_{l,0}(\theta, \varphi) = \sqrt{\frac{2l+1}{4\pi}} P_l(\cos \theta)$

- $l=0 \quad Y_{00} = \frac{1}{\sqrt{4\pi}}$

$$l=1: \quad Y_{10} = \sqrt{\frac{3}{4\pi}} \cos \theta, \quad Y_{1,\pm 1} = \mp \sqrt{\frac{3}{8\pi}} \sin \theta e^{\pm i\varphi}$$

$$l=2: \quad Y_{20} = \sqrt{\frac{5}{16\pi}} (3 \cos^2 \theta - 1)$$

$$Y_{2,\pm 1} = \mp \sqrt{\frac{15}{8\pi}} \cos \theta \sin \theta e^{\pm i\varphi}$$

$$Y_{2,\pm 2} = \sqrt{\frac{15}{32\pi}} \sin^2 \theta e^{\pm 2i\varphi}$$

Allgemeine Lösung der Laplace-Gleichung

$$\Phi = \frac{V(r)}{r} P(\theta) Q(\varphi)$$

$$V(r) = A r^{l+1} + B r^{-l}$$

$$PQ \rightarrow P_l^m(\cos\theta) e^{im\varphi} \rightarrow Y_{lm}$$

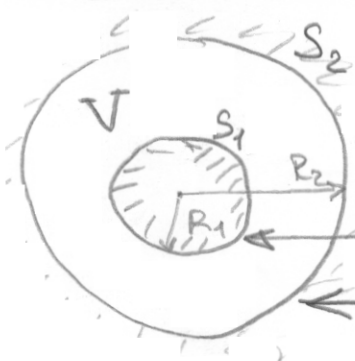
$$\sum_{lm}$$



$$\boxed{\Phi(r, \theta, \varphi) = \sum_{l=0}^{\infty} \sum_{m=-l}^l (A_{lm} \cdot r^l + B_{lm} r^{-l-1}) Y_{lm}(\theta, \varphi)} \quad (*)$$

Koeffizienten A_{lm}, B_{lm} werden durch Randbedingungen bestimmt

Randwertproblem: Beispiel



Randbedingungen:

$$\Phi(R_1, \theta, \varphi) = V_1(\theta, \varphi) \quad (R1)$$

$$\Phi(R_2, \theta, \varphi) = V_2(\theta, \varphi) \quad (R2)$$

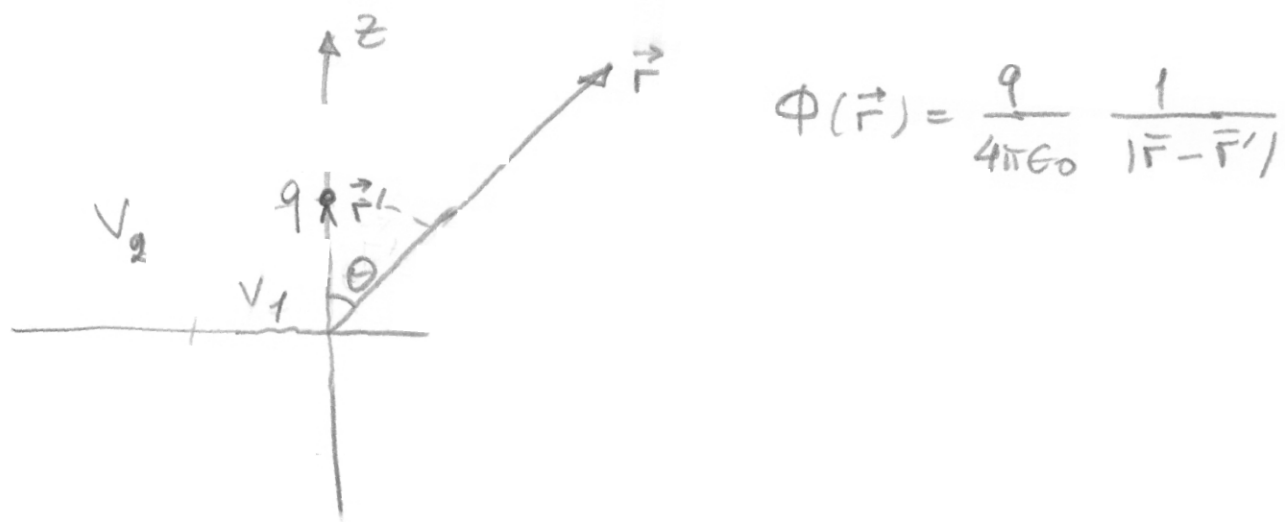
Koeffizienten A_{lm}, B_{lm} können mit Hilfe von Einsetzen von (*) in (R1), (R2), Multiplizieren mit $Y_{l'm}^*(\theta, \varphi)$ und Integration $\int d\Omega$ bestimmt werden

Bemerkung:

i) $\nabla^2 \Phi|_V = 0; \vec{r} = 0 \in V \rightarrow \text{alle } B_{lm} = 0$

ii) $V \quad \infty \in V \quad \Phi(\infty) = \text{const} \rightarrow \text{alle } A_{lm} = 0 \text{ für } l \geq 1$

Potential einer Punktladung: Entwicklung nach Kugelfunktionen



$$\Phi(\vec{r}) = \frac{q}{4\pi\epsilon_0} \frac{1}{|\vec{r} - \vec{r}'|}$$

Erst wählen \vec{r}' in der (positiven) z -Richtung ($\theta' = 0$)

$$\vec{r}' \Leftrightarrow (r', \theta', \varphi)$$

$$\Phi(r', \theta', \varphi) = \Phi(r', \theta) \quad \varphi\text{-unabhängig}$$

Beispiel eines Zylindersymmetrischen Problems

In beiden Bereichen

$$V_1 : \{ \vec{r} : r < r_1 \}$$

$$V_2 : \{ \vec{r} : r > r_1 \}$$

$$\nabla_r^2 \frac{1}{|\vec{r} - \vec{r}'|} = 0 \rightarrow \text{Entwickeln in } Y_{lm}$$

Zylindersymmetrie \rightarrow nur $m=0$ Beitrag
 $Y_{l0}^{(\theta, \varphi)} \propto P_l(\cos \theta)$

$$\frac{1}{|\vec{r} - \vec{r}'|} = \sum_{l=0}^{\infty} \left(a_l r^l + \frac{b_l}{r^{l+1}} \right) P_l(\cos \theta)$$

\vec{r}' z -Achse, $\theta = 0 \rightarrow P_l(1) = 1$

$$\rightarrow \frac{1}{|\vec{r} - \vec{r}'|} \left|_{\theta=0} \right. = \sum_{l=0}^{\infty} a_l r^l + \frac{b_l}{r^{l+1}} \quad (*)$$

- 34 -

Andererseits

$$\frac{1}{|\vec{r} - \vec{r}'|} \left|_{\theta=0} \right. = \begin{cases} \frac{1}{r' - r} = \frac{1}{r'} \sum_{l=0}^{\infty} \frac{r^l}{(r')^l}, & r < r' \\ \frac{1}{r - r'} = \frac{1}{r} \sum_{l=0}^{\infty} \frac{(r')^l}{r^l}, & r > r' \end{cases} \quad (**)$$

Vergleichen (*) und (***) \rightarrow

$$a_l = \frac{1}{(r')^{l+1}}, \quad b_l = 0 \quad (r < r_i)$$

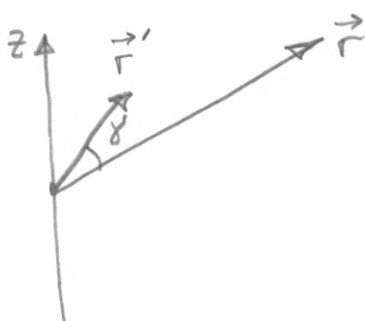
$$a_l = 0, \quad b_l = (r')^l \quad (r > r_i)$$

$$\rightarrow \boxed{\frac{1}{|\vec{r} - \vec{r}'|}} = \sum_{l=0}^{\infty} P_l(\cos \theta) \times \begin{cases} \frac{r^l}{(r')^{l+1}}, & r < r' \\ \frac{(r')^l}{r^{l+1}}, & r > r' \end{cases} =$$

$$= \sum_{l=0}^{\infty} \frac{r^l}{r'} P_l(\cos \theta)$$

$$\begin{aligned} r_i &= \min(r, r') \\ r_o &= \max(r, r') \end{aligned}$$

Nun \vec{r}' beliebig



$$\frac{1}{|\vec{r} - \vec{r}'|} = \frac{1}{\sqrt{r^2 + r'^2 - 2rr' \cos \theta}}$$

- erzeugende
Funktion
der Legendre-
Polynome

$$\begin{aligned} \vec{r}' &\leftrightarrow (r', \theta', \varphi') \\ \vec{r} &\leftrightarrow (r, \theta, \varphi) \end{aligned}$$

γ - Winkel zwischen \vec{r} und \vec{r}'

$$\frac{1}{|\vec{r} - \vec{r}'|} = \sum_{l=0}^{\infty} \frac{\Gamma_l}{\Gamma_{l+1}} P_l(\cos \gamma)$$

Wir können aber $\frac{1}{|\vec{r} - \vec{r}'|}$ ^{auch} in Winkelkoordinaten $Y_{lm}(\theta, \varphi)$ entwickeln. Das Ergebnis (siehe z.B. Fließbach, Kap. 11 oder Jackson, 3.6)

$$\frac{1}{|\vec{r} - \vec{r}'|} = \sum_{l=0}^{\infty} \sum_{m=-l}^l \frac{4\pi}{2l+1} \frac{\Gamma_l}{\Gamma_{l+1}} Y_{lm}^*(\theta', \varphi') Y_{lm}(\theta, \varphi)$$

$$\Rightarrow P_l(\cos \gamma) = \frac{4\pi}{2l+1} \sum_{m=-l}^l Y_{lm}^*(\theta', \varphi') Y_{lm}(\theta, \varphi)$$

Additionstheorem für Kugelflächenfunktionen

⑭ Multipolentwicklung

Wir betrachten eine lokalisierte Ladungsdichte

$$p(\vec{r}) = p(r, \theta, \varphi) = 0 \text{ für } r > R_0$$

Das elektrost. Potential $\Phi(\vec{r})$ kann im Bereich $r > R_0$ nach Potenzen von R_0/r entwickelt werden - Multipolentwicklung

$$\Phi(\vec{r}) = \frac{1}{4\pi\epsilon_0} \int d^3r' \frac{p(\vec{r}')}{|\vec{r} - \vec{r}'|} = \frac{1}{4\pi\epsilon_0} \int d^3r' p(\vec{r}') \sum_{l=0}^{\infty} \sum_{m=-l}^l$$

$$\cdot \frac{4\pi}{2l+1} \frac{\Gamma_l}{\Gamma_{l+1}} Y_{lm}^*(\theta', \varphi') Y_{lm}(\theta, \varphi)$$

-36-

$$\Phi(\vec{r}) = \frac{1}{\epsilon_0} \sum_{l=0}^{\infty} \sum_{m=-l}^{l} \frac{1}{2l+1} \frac{q_{lm}}{r^{l+1}} Y_{lm}(\theta, \varphi)$$

(sphärische) Multipolmomente

$$q_{lm} = \int d^3 r' \rho(r') (r')^l Y_{lm}^*(\theta', \varphi')$$

(Fließbach: q_{lm} mit zusätzlichen Faktor $\sqrt{\frac{4\pi}{2l+1}}$ definiert)

Explizit:

$$\Phi(\vec{r}) = \frac{1}{\epsilon_0} \frac{1}{4\pi} \left[\frac{q_{00}}{r} + \frac{1}{\sqrt{3}} \frac{q_{10}}{r^2} \cos \theta - \frac{1}{\sqrt{6}} \frac{q_{11}}{r^2} \sin \theta e^{i\varphi} + \frac{1}{\sqrt{6}} \frac{q_{1,-1}}{r^2} \sin \theta e^{-i\varphi} + \dots \right]$$

\nearrow

$l=0$ (Monopol) $\sim 1/r$

$l=1$ (Dipol) $\sim 1/r^2$

$$l=2 \text{ (Quadrupol)}, \dots$$

Kartesische Darstellung:

$$\begin{aligned} \Phi(\vec{r}) &= \frac{1}{4\pi\epsilon_0} \left(\int d^3 r' \rho(r') \frac{1}{|\vec{r}-\vec{r}'|} \right) \\ \frac{1}{|\vec{r}-\vec{r}'|} &= \frac{1}{r} - \sum_i r'_i \frac{\partial}{\partial r_i} \frac{1}{r} + \frac{1}{2} \sum_{ij} r'_i r'_j \frac{\partial}{\partial r_i} \frac{\partial}{\partial r_j} \frac{1}{r} + \dots \\ &= \frac{1}{r} + \sum_i \frac{r'_i}{r^3} r'_i + \frac{1}{2} \sum_{ij} \frac{3r_i r_j - r^2 \delta_{ij}}{r^5} r'_i r'_j + \dots \\ &= \frac{1}{r} + \sum_i \frac{r'_i}{r^3} r'_i + \frac{1}{2} \sum_{ij} \frac{r_i r_j}{r^5} (3r'_i r'_j - r'^2 \delta_{ij}) + \dots \end{aligned}$$

$$\rightarrow \Phi(\vec{r}) = \frac{1}{4\pi\epsilon_0} \left[\frac{1}{r} Q^{(0)} + \sum_i \frac{r'_i}{r^3} Q_i^{(1)} + \frac{1}{2} \sum_{ij} \frac{r_i r_j}{r^5} Q_{ij}^{(2)} + \dots \right]$$

$$\left. \begin{aligned} Q^{(0)} &= \int d^3 r' p(\vec{r}') \equiv q && \text{Monopol} \\ Q_i^{(1)} &= \int d^3 r' r_i' p(\vec{r}') \equiv p_i && \text{Dipol} \\ Q_{ij}^{(2)} &= \int d^3 r' (3r_i' r_j' - r'^2 \delta_{ij}) p(\vec{r}') && \text{Quadrupol} \\ &\equiv Q_{ij} \end{aligned} \right\} \begin{array}{l} \text{kartesische} \\ \text{Multipol-} \\ \text{momente} \end{array}$$

$\begin{array}{c} + \\ \bullet \end{array}$ Monopol	$\begin{array}{cc} + & - \\ \bullet & \circ \end{array}$ Dipol	$\begin{array}{cc} + & - \\ \circ & \circ \end{array}$ Quadrupol (oder z.B., $\begin{array}{c} +q \\ \circ \\ -2q \\ +q \end{array}$)
--	---	---

Zusammenhang zwischen Kugel- und kartesischen Multipolmomenten:

$$\left. \begin{aligned} q_{00} &= \frac{1}{\sqrt{4\pi}} \int d^3 r' p(\vec{r}') = \frac{1}{\sqrt{4\pi}} q \\ q_{10} &= \sqrt{\frac{3}{4\pi}} \int d^3 r' z' p(\vec{r}') = \sqrt{\frac{3}{4\pi}} p_z \\ q_{11} &= -\sqrt{\frac{3}{8\pi}} \int d^3 r' (x' - iy') p(\vec{r}') = -\sqrt{\frac{3}{8\pi}} (p_x - i p_y) \\ q_{20} &= \frac{1}{2} \sqrt{\frac{5}{4\pi}} \int d^3 r' (3z'^2 - r'^2) p(\vec{r}') = \frac{1}{2} \sqrt{\frac{5}{4\pi}} Q_{zz} \\ q_{21} &= -\sqrt{\frac{15}{8\pi}} \int d^3 r' z' (x' - iy') p(\vec{r}') = -\frac{1}{3} \sqrt{\frac{15}{8\pi}} (Q_{xz} - i Q_{yz}) \\ q_{22} &= \frac{1}{4} \sqrt{\frac{15}{2\pi}} \int d^3 r' (x' - iy')^2 p(\vec{r}') = \frac{1}{12} \sqrt{\frac{15}{2\pi}} (Q_{xx} - 2i Q_{xy} - Q_{yy}) \end{aligned} \right.$$

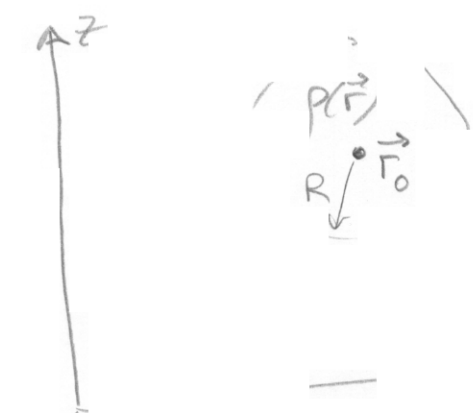
$$q_{l,-m} = (-1)^m q_{lm}^*$$

Bemerkung

Die Multipolmomente hängen im Allgemeinen von der Wahl des Koordinatenursprungs ab.

Aber: das niedrigste nichtverschwindende Multipolmoment ist von dieser Wahl unabhängig

Energie im äußeren Feld



$$p(\vec{r}) = C \quad \text{für } |\vec{r} - \vec{r}_0| > R$$

$$\vec{r} - \vec{r}_0 \equiv \vec{r}'$$

$$\Rightarrow p(\vec{r}) = p(\vec{r}_0 + \vec{r}') \equiv \tilde{p}(\vec{r}')$$

zu Äußeres elekt. Feld $\vec{E}_{\text{ext}} = -\vec{\nabla} \Phi_{\text{ext}}$

Annahme: \vec{E}_{ext} ändert sich nur wenig im Bereich der Ladungsverteilung \rightarrow Taylor-Entwicklung

$$\begin{aligned} \Phi_{\text{ext}}(\vec{r}) &= \\ &= \Phi_{\text{ext}}(\vec{r}_0 + \vec{r}') = \Phi_{\text{ext}}(\vec{r}_0) + \sum_i \frac{\partial \Phi_{\text{ext}}}{\partial r_i} \Bigg|_{\vec{r}_0} \cdot \vec{r}'_i + \frac{1}{2} \sum_{ij} \frac{\partial^2 \Phi_{\text{ext}}}{\partial r_i \partial r_j} \Bigg|_{\vec{r}_0} \cdot \vec{r}'_i \vec{r}'_j + \dots \end{aligned}$$

$$= \Phi_{\text{ext}}(\vec{r}_0) + \sum_i \frac{\partial \Phi_{\text{ext}}}{\partial r_i} \Bigg|_{\vec{r}_0} \cdot \vec{r}'_i + \frac{1}{6} \sum_{ij} \frac{\partial^2 \Phi_{\text{ext}}}{\partial r_i \partial r_j} \Bigg|_{\vec{r}_0} (3 \vec{r}'_i \vec{r}'_j - \vec{r}'^2 \delta_{ij}) + \dots$$

$\nabla^2 \tilde{\Phi}_{\text{ext}} = 0$
 \rightarrow der Term kann hinzugefügt werden

- 39 -

\Rightarrow Potentielle Energie der Ladungsverteilung
 $p(\vec{r}) = \tilde{p}(\vec{r}')$ im äußeren Feld:

$$W = \int d^3r p(\vec{r}) \Phi_{\text{ext}}(\vec{r}) = \int d^3r' \tilde{p}(\vec{r}') \Phi_{\text{ext}}(\vec{r}_0 + \vec{r}')$$
$$= q \Phi_{\text{ext}}(\vec{r}_0) - \vec{p} \cdot \vec{E}_{\text{ext}}(\vec{r}_0) - \frac{1}{6} \sum_{ij} Q_{ij} \frac{\partial \Phi_{\text{ext},j}(\vec{r}_0)}{\partial r_i} (\vec{r}_0)$$
$$+ \dots$$

Kopplung:

Ladung — Potential

Dipol — El. Feld

Quadrupol — Gradient des El. Feldes

kraft des äußeren Feldes zu die gegebene Ladungsverteilung:

Monopar : $\vec{F}(\vec{r}_0) - \vec{\nabla} W(\vec{r}_0) = q \vec{E}_{\text{ext}}(\vec{r}_0) + \dots$

↑ Beiträge von höheren Multipolen

Dipol [angenommen Monopolelement (Ladung) $q=0$]:

$$\vec{F}(\vec{r}_0) = -\vec{\nabla} W(\vec{r}_0) = \vec{\nabla} (\vec{p} \cdot \vec{E}_{\text{ext}}(\vec{r}_0)) + \dots; \quad F_i = \frac{\partial}{\partial r_i} \sum_j P_j E_{\text{ext},j}$$

$$\vec{p} = \text{const} \rightarrow F_i = \sum_j P_j \frac{\partial}{\partial r_i} E_{\text{ext},j} = \sum_j P_j \frac{\partial}{\partial r_j} E_{\text{ext},i}$$

$$\vec{F} = (\vec{p} \cdot \vec{\nabla}) \vec{E}_{\text{ext}}(\vec{r}_0)$$



Drehmoment:

$$d\vec{N} = \vec{r} \times d\vec{F}; \quad \vec{N} = - \int d^3r' \tilde{p}(\vec{r}') \vec{r}' \times \vec{\nabla} \Phi_{\text{ext}}(\vec{r}_0) = \vec{p} \times \vec{E}_{\text{ext}}$$

